

# 基于荧光 SSR 标记的 10 个白杨派种质资源遗传多样性分析

程玮哲,樊军锋\*,周永学,高建社,俞永玮,王烟霞

(西北农林科技大学 林学院,陕西 杨陵 712100)

**摘要:**为分析白杨派优良无性系之间的遗传关系,采用毛细管电泳荧光 SSR 分子标记技术,构建 10 个白杨派优良无性系 DNA 指纹图谱,并进行遗传分析。结果表明,从 20 对引物中筛选出 7 对位点多态性高且重复性好的引物,共扩增出 41 个多态性位点,平均每对引物扩增 5.9 个,每个引物扩增多态位点在 4~8 之间。无性系间遗传相似系数区间为 0.415~0.902,平均遗传相似系数为 0.657,遗传变异性丰富。Shannon 指数和基因多样性指数分别为 1.433 4 和 0.694 3,表明无性系间具有较高的遗传多样性。聚类分析表明,10 个白杨派无性系中,秦白杨 1 号、秦白杨 3 号、秦白杨 5 号与 84K 聚为一类,07-17-18、07-23-23 与 07-30-11 与 I-101 聚为一类,与实际亲缘关系相符。利用 2 对多态性 SSR 引物 PMGC-2020 和 PMGC2607 构建了白杨派无性系指纹图谱,该图谱可将无性系全部区分开。

**关键词:**白杨派;SSR;毛细管电泳;指纹图谱;遗传分析

**中图分类号:**S792.11      **文献标志码:**A      **文章编号:**1001-7461(2021)03-0088-06

Genetic Diversity Analysis of the 10 Poplar Accessions Based on SSR Molecular Makers

**CHENG Wei-zhe, FAN Jun-feng\*, ZHOU Yong-xue, GAO Jian-she, YU Yong-wei, WANG Yan-xia**

(College of Forestry, Northwest A&F University, Yangling 712100, Shaanxi, China)

**Abstract:** To analyze the genetic relationships of poplar clones (Sect. *Leuce*), we constructed DNA finger-print maps of 10 excellent poplar clones and analyzed genetic diversity based on fluorescent SSR molecular markers of capillary electrophoresis. A total of 41 polymorphic loci were detected in the 7 pairs of polymorphic primers with high polymorphism and high repeatability, 20 pairs of primers were screened out. The polymorphic loci of each primer ranged from 4 to 8 with an average of 5.9. The genetic similarity coefficient ranged from 0.415 to 0.902, with the average of 0.657. The Shannon index and gene diversity index were 1.433 4 and 0.694 3, respectively, indicating that there was a high genetic diversity. Cluster analysis showed that “Qinbaiyang No. 1”, “Qinbaiyang No. 3”, “Qinbaiyang No. 5” and “84K” were clustered in one group, and “07-17-18”, “07-23-23”, “07-30-11” and “I-101” were clustered another group, which was consistent with the actual genetic relationship. All clones could be distinguished by the fingerprints built by the primers of PMGC-2020 and PMGC2607.

**Key words:** Sect. *Leuce*; SSR; capillary electrophoresis; fingerprinting; genetic analysis

杨树指杨柳科(Salicaceae)杨属(*Populus*)的所有树种的统称,是以无性繁殖为主、雌雄异株的落叶乔木<sup>[1]</sup>。其分布范围广泛,有较强的适应性和抗逆性,是良好的用材造林树种<sup>[2]</sup>。20 世纪 80 年代以

来,随着分子生物学的发展,分子标记早已运用到杨树等多种植物的遗传育种研究中,使品种鉴定、选育良种更为方便,摆脱传统育种周期长、子代易受环境影响导致的良种生产推广及应用的难题。

收稿日期:2020-09-11 修回日期:2020-10-20

基金项目:“十三五”国家重点研发项目(SQ2016YFNC030041)。

作者简介:程玮哲。研究方向:林木遗传育种与林业生物技术。E-mail:412022317@qq.com

\*通信作者:樊军锋,博士,教授。研究方向:杨树新品种选育与遗传改良。E-mail:fanjf282163.com

简单重复序列(simple sequence repeats, SSR)又名微卫星 DNA,该分子标记利用真核基因组中普遍存在的微卫星 DNA 两端保守的单拷贝序列设计引物,并通过 PCR 技术电泳检测揭示标记多态性<sup>[3]</sup>。SSR 分子标记具有共显性、重复性高、多态性丰富的优点,近年来,已广泛应用于枣树(*Ziziphus jujuba*)<sup>[4]</sup>、松树<sup>[5]</sup>、高粱(*Sorghum bicolor*)<sup>[6]</sup>、枸杞(*Lycium*)<sup>[7]</sup>等多种植物作物群体遗传和进化研究。相较于传统聚丙烯酰胺凝胶电泳,毛细管自动电泳荧光检测法 TP-M13(Tailed primer-M13)<sup>[8]</sup>是最新检测技术。该技术通过标记荧光引物,检测结果可细化到 1 bp,能够实现低成本、高效率的检测 SSR 多个位点信息。

种质鉴定在林木良种生产推广中有至关重要的意义。最早应用的是 RAPD 分子标记构建指纹图谱,研究表明 RAPD 分子标记能很好的区分开杨属,且每一种杨属品种都具有其独特的指纹图谱<sup>[9]</sup>。藕丹等<sup>[10]</sup>分别采用 SSR 与 SCoT 分子标记对美洲黑青杨杂种无性系的亲缘关系进行分析,并比较了 2 分子标记在良种鉴定方面的适用性。樊蓉等<sup>[11]</sup>针对白杨派杂交新品种及近缘种研究其遗传关系,通过遗传图谱在分子水平上揭示了品种的独特性。

本研究基于核基因组的 SSR 分子标记技术,综合评价 10 个白杨派种质资源的遗传多样性水平,构建 DNA 指纹图谱,为选育白杨派新品种以及选育品种之间亲缘关系的鉴定提供依据;有利于加快白杨无性系选育的步伐,并且促进白杨派优异种质资源的挖掘,推动白杨派树种的遗传改良进程,加快优异杨树种质资源的推广栽植。

## 1 材料与方法

### 1.1 试验材料

研究所用白杨派无性系共 10 个,包括秦白杨 1、3、5 号及其父母本 84K、I-101,新疆杨和 4 个白杨派无性系毛白杨 30 号、07-17-18、07-23-23、07-30-11。供试白杨派无性系材料均采自西北农林科技大学渭河试验站(表 1)。

### 1.2 方法

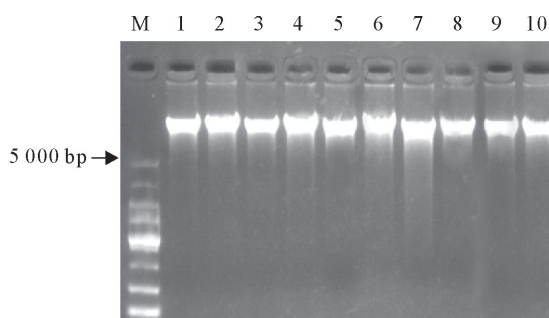
1.2.1 DNA 提取 2020 年 5 月采集 1 年生杨树无病虫害新生嫩叶,采用改进 CTAB 法<sup>[12]</sup>提取新生嫩芽基因组 DNA,采用 Nanodrop2000 检测 DNA 的浓度及纯度,用 1% 琼脂糖凝胶电泳检测 DNA 质量(图 1),检测后的 DNA 稀释成 20 ng · μL<sup>-1</sup> 并在 -20℃ 下保存备用,使用时取出保存于 4℃。

1.2.2 引物合成与筛选 从国际杨树基因组委员会官方网站([http://web.ornl.gov/sci/ipgc/ssr\\_resources.htm](http://web.ornl.gov/sci/ipgc/ssr_resources.htm))选取 20 对合适的 SSR 引物。筛选出 7 对扩增条件好、多态性丰富的引物(表 2),引物合成与标记均由上海生物工程有限公司完成。

表 1 供试材料及遗传背景

Table 1 Materials and their genetic background

| 无性系      | 遗传背景                                                                   |
|----------|------------------------------------------------------------------------|
| 秦白杨 1 号  | I-101( <i>P. alba</i> ) × 84K( <i>P. alba</i> × <i>P. glandulosa</i> ) |
| 秦白杨 3 号  | I-101( <i>P. alba</i> ) × 84K( <i>P. alba</i> × <i>P. glandulosa</i> ) |
| 秦白杨 5 号  | I-101( <i>P. alba</i> ) × 84K( <i>P. alba</i> × <i>P. glandulosa</i> ) |
| 84K      | 银白杨( <i>P. alba</i> ) × 腺毛杨( <i>P. glandulosa</i> )                    |
| I-101    | 意大利银白杨( <i>P. alba</i> )                                               |
| 新疆杨      | 银白杨变种( <i>P. alba</i> var. <i>pyramidalis</i> Bge.)                    |
| 毛白杨 30 号 | 毛白杨无性系( <i>P. tomentosa</i> No. 30)                                    |
| 07-17-18 | I-101( <i>P. alba</i> ) × 毛白杨( <i>P. tomentosa</i> )                   |
| 07-23-23 | I-101( <i>P. alba</i> ) × 毛白杨( <i>P. tomentosa</i> )                   |
| 07-30-11 | I-101( <i>P. alba</i> ) × 毛白杨( <i>P. tomentosa</i> )                   |



注:1. 秦白杨 1 号;2. 秦白杨 3 号;3. 秦白杨 5 号;4. 84K;5. I-101;6. 新疆杨;7. 毛白杨 30 号;8. 07-17-18;9. 07-23-23;10. 07-30-11;M. DL5000DNA Maker。

图 1 DNA 质量电泳图

Fig. 1 Electrophoresis of the genomic DNA

1.2.3 PCR 扩增及检测 PCR 反应总体积为 25 μL:10×Taq Buffer(MgCl<sub>2</sub>)2.5 μL,Taq 酶 0.5 μL(5 U/μL),dNTP(mix)1 μL(10 μM),正反引物各 1 μL(10 μM),模板 DNA 1 μL(20 ng/μL)。反应程序:94℃ 3 min;94℃ 30 s,60℃ 30 s,72℃ 30 s,10 个循环;94℃ 30 s,55℃ 30 s,72℃ 30 s,35 个循环;72℃ 5 min。在 96 板孔中分别加入 PCR 产物 1 μL,LIZ500 分子量内标 0.1 μL 和去离子甲酰胺 9.9 μL。98℃ 变性 5 min,置于碎冰上急速冷却,离心后用 ABI3730XL 型 DNA 分析仪检测。

1.2.4 数据分析 运用 Genemapper 软件分析数据,DataFormatter、POPGENE32 软件进行数据转换并分析电泳结果,计算遗传多样性相关指标(观测等位基因数 Na、有效等位基因数 Ne、Shannon 信息指数 I、Nei's<sup>[14]</sup>基因多样性指数 H 等)。利用 NT-SYS-pc2.10eUPGMA 法中的 SHAN 进行聚类分析,并利用遗传相似系数构建树状聚类图。

## 2 结果与分析

### 2.1 SSR 结果多态性分析

利用 7 对筛选出来多态性引物在 10 个供试无性系中共扩增出 41 个多态性位点, 每个引物扩增位点在 4~8 之间, 平均扩增 5.9 个位点, 多态性比率为 100%。其中引物 ORPM-23 和 PMGC-2885 扩增的多态等位基因数最少, 引物 PMGC-2385 扩增多态等位基因数最多, 为 8 个。特异等位基因数在

0~4 之间, 扩增最多的为引物 GCPM-163, 而引物 ORPM-23 没有扩增出特异等位基因, 7 对引物共扩增出 15 个特异等位基因, 平均每个引物扩增 2.1 个, 平均特异性比率为 35.11%。有效等位基因数小于观测等位基因数共 25.2 个, 平均 3.6 个, 说明等位基因在群体中分布不均, 遗传差异丰富。Shannon 指数和基因多样性指数平均值分别为 1.433 4 和 0.694 3, 表明供试无性系具有较高的遗传多样性(表 3)。

表 2 筛选的 SSR 引物信息

Table 2 Selected SSR primer information

| 引物       | 正向序列(5'-3')            | 反向序列(5'-3')           | 荧光染料  | 退火温度/℃<br>$T_m$ |
|----------|------------------------|-----------------------|-------|-----------------|
| PMGC2020 | TAAGGCTCTGTTGTTAGTCAG  | GAGATCTAAAGAAGGGTCTTC | 5'FAM | 49.30           |
| PMGC2385 | ATTCTTCACCTGGCAATATG   | CTTGGCTGTAAATGACGAGTC | 5'FAM | 52.85           |
| PMGC2607 | TTAAAGGGTGGTCTGCAAGC   | CTTCTTGACCTCGTTTGAG   | 5'FAM | 54.80           |
| PMGC2675 | CACACCGACAAATTATGAGTG  | TTTAGAGTGAATTTCCCTGCG | 5'FAM | 50.80           |
| PMGC2885 | CATTGATCAAATTGGATTGATG | AAAGATGAACATGGCTAGCTC | 5'HEX | 49.80           |
| GCPM162  | GCCCCAAACTCTTATTGATG   | TGGTGGAGGCTAGGATAGTA  | 5'HEX | 51.20           |
| ORPM23   | ATTCCATTTGGCAATCAAGG   | CCCTGAAAGTCACGTCTTCG  | 5'HEX | 53.25           |

表 3 SSR 多态引物相关指标

Table 3 The amplification results of the SSR polymorphic primers

| 引物       | 观测等位基因数/个 | 多态等位基因数/个 | 多态性比率/% | 特异等位基因数/个 | 特异性比率/% | 有效等位基因数/个 | Shannon 信息指数 | Nei's 基因多样性指数 |
|----------|-----------|-----------|---------|-----------|---------|-----------|--------------|---------------|
| GCPM162  | 6         | 6         | 100.00  | 4         | 66.67   | 3.3       | 1.413 6      | 0.700 0       |
| ORPM23   | 4         | 4         | 100.00  | 0         | 0.00    | 3.6       | 1.335 1      | 0.725 0       |
| PMGC2020 | 7         | 7         | 100.00  | 2         | 28.57   | 3.3       | 1.541 0      | 0.700 0       |
| PMGC2385 | 8         | 8         | 100.00  | 3         | 37.50   | 5.1       | 1.846 5      | 0.805 0       |
| PMGC2607 | 5         | 5         | 100.00  | 1         | 20.00   | 2.9       | 1.277 3      | 0.660 0       |
| PMGC2675 | 7         | 7         | 100.00  | 3         | 42.86   | 5.1       | 1.749 0      | 0.805 0       |
| PMGC2885 | 4         | 4         | 100.00  | 2         | 50.00   | 1.9       | 1.871 1      | 0.465 0       |
| 总计       | 41        | 41        |         | 15        |         | 25.2      |              |               |
| 平均       | 5.9       | 5.9       | 100.00  | 2.1       | 35.11   | 3.6       | 1.433 4      | 0.694 3       |

图 2 为引物 PMGC-2607 对部分无性系的扩增图谱。引物 PMGC-2607 在无性系 07-17-18、07-30-11、秦白杨 1 号和毛白杨 30 号中均检测到 2 个位点, 在无性系 07-17-18 中 145 bp 和 164 bp 处扩增产物荧光强度达到峰值, 在无性系 07-30-11 中 127 bp 和 164 bp 处达到峰值。秦白杨 1 号和毛白杨 30 号分别在 127、145 bp 和 145、147 bp 处检测到荧光峰值位点。

### 2.2 DNA 指纹图谱构建

依据 7 对引物在供试无性系间的扩增结果, 仅选取其中 2 个多态性引物 PMGC-2020 和 PMGC-2607 即可构建白杨派 10 个无性系的指纹图谱(表 4)。引物 PMGC-2020 可区分秦白杨 5 号、毛白杨 30 号、新疆杨、07-17-18, 引物 PMGC-2607 可区分 I-101、毛白杨 30 号、新疆杨、07-30-11, 将引物

PMGC-2020 与 PMGC-2607 结合即可将其余的无性系秦白杨 1 号、秦白杨 3 号、84K、07-23-23 全部有效区分。

### 表 4 基于 2 个多态性引物的 10 个白杨派无性系指纹图谱

Table 4 Fingerprinting of 10 poplar clones based on 2 polymorphic primers

| 无性系      | 引物 PMGC-2020<br>扩增产物大小/bp | 引物 PMGC-2607<br>扩增产物大小/bp |
|----------|---------------------------|---------------------------|
| 秦白杨 1 号  | 142/155                   | 127/145                   |
| 秦白杨 3 号  | 142                       | 145                       |
| 秦白杨 5 号  | 141/142                   | 127/145                   |
| 84K      | 142/157                   | 145                       |
| I-101    | 142/155                   | 164                       |
| 毛白杨 30 号 | 156                       | 145/147                   |
| 新疆杨      | 140/152                   | 140/145                   |
| 07-17-18 | 142/156                   | 145/164                   |
| 07-23-23 | 142                       | 145/164                   |
| 07-30-11 | 142/157                   | 127/164                   |

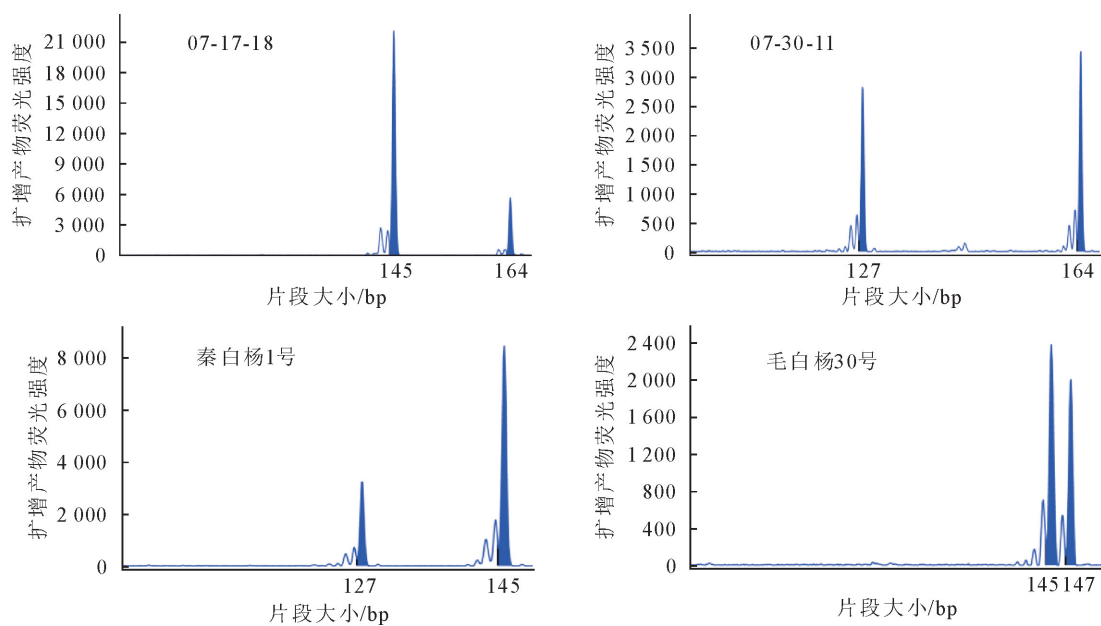


图 2 引物 PMGC-2607 扩增产物在 4 个无性系中的毛细管电泳检测

Fig. 2 Detection of amplified products of primer PMGC-2607 in four clones by capillary electrophoresis

### 2.3 遗传相似系数与聚类分析

遗传相似系数表明有机体间的相似性,遗传相似系数越大,有机体间越相似,遗传关系越近。10个白杨派无性系的遗传相似系数在 0.415~0.902 之间,平均遗传相似系数为 0.657,秦白杨 1 号、秦白杨 3 号、秦白杨 5 号与 84K、I-101 间的遗传相似

系数为 0.707~0.805,秦白杨 1 号、秦白杨 3 号、秦白杨 5 号两两之间遗传相似系数为 0.780~0.829,遗传差异较小。07-17-18、07-23-23、07-30-11 与 I-101 间的遗传相似系数为 0.683~0.780,遗传关系相近。毛白杨 30 号与新疆杨分别与其他无性系遗传差异较大,平均遗传相似系数为 0.538(表 5)。

表 5 10 个白杨派无性系遗传相似系数

Table 5 Genetic similarity coefficient of 10 poplar clones

| 无性系      | 秦白杨<br>1号 | 秦白杨<br>3号 | 秦白杨<br>5号 | 84K   | I-101 | 毛白杨<br>30号 | 新疆杨   | 07-17-18 | 07-23-23 | 07-30-11 |
|----------|-----------|-----------|-----------|-------|-------|------------|-------|----------|----------|----------|
| 秦白杨 1 号  | 1.000     |           |           |       |       |            |       |          |          |          |
| 秦白杨 3 号  | 0.829     | 1.000     |           |       |       |            |       |          |          |          |
| 秦白杨 5 号  | 0.780     | 0.805     | 1.000     |       |       |            |       |          |          |          |
| 84K      | 0.732     | 0.805     | 0.707     | 1.000 |       |            |       |          |          |          |
| I-101    | 0.707     | 0.732     | 0.732     | 0.634 | 1.000 |            |       |          |          |          |
| 毛白杨 30 号 | 0.463     | 0.488     | 0.488     | 0.488 | 0.512 | 1.000      |       |          |          |          |
| 新疆杨      | 0.561     | 0.585     | 0.537     | 0.537 | 0.610 | 0.512      | 1.000 |          |          |          |
| 07-17-18 | 0.683     | 0.756     | 0.610     | 0.707 | 0.683 | 0.488      | 0.634 | 1.000    |          |          |
| 07-23-23 | 0.683     | 0.756     | 0.707     | 0.659 | 0.780 | 0.537      | 0.732 | 0.902    | 1.000    |          |
| 07-30-11 | 0.707     | 0.634     | 0.683     | 0.683 | 0.756 | 0.415      | 0.561 | 0.780    | 0.829    | 1.000    |

基于 UPGMA 聚类分析白杨派无性系结果见图 3。秦白杨系列与 07 系列分别聚为一类,秦白杨 1 号、秦白杨 3 号、秦白杨 5 号与 84K 聚为一小类,07-17-18、07-23-23、07-30-11 与 I-101 聚为一小类,两小类聚成一起与新疆杨、毛白杨 30 号汇合,进一步说明秦白杨系列和 07 系列分别具有相同的遗传基础,新疆杨和毛白杨 30 号与其余无性系亲缘关系较远。

### 3 结论与讨论

分子生物学发展至今,以 SSR 为标记的遗传研究已成主体,代替传统分型方法的毛细管自动电泳荧光检测法使良种鉴定、遗传学研究更为便利。姚俊修等<sup>[14]</sup>首次利用荧光 SSR 标记开展白杨派种质资源遗传多样性研究,272 个白杨派无性系共检测到 106 个等位基因,平均观测杂合度为 0.561,平均期望杂合度为 0.432,具有丰富的遗传多样性,同时

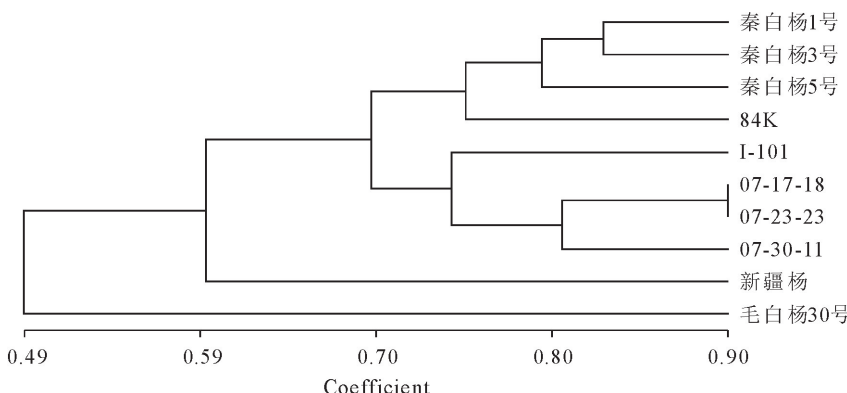


图 3 10 个白杨派无性系树状聚类图

Fig. 3 Dendrogram of 10 poplar clones

对 6 个种源地区(北京、河北等)进行了遗传分析,并建议杂交育种可以选择不同种源进行,增加遗传多样性。冯锦霞等<sup>[15]</sup>利用毛细电泳检测法鉴定 14 个杨树品种,仅用 4 对引物的 3 个位点将美洲黑杨的 4 个品种区分,4 个位点将欧洲黑杨 5 个品种区分,遗传分析表明杨树不同派间遗传差异大。张亚东等<sup>[16]</sup>通过比较 2 分子标记 SSR 和 EST-SSR 的 PCR 扩增结果、不同位点的遗传参数及聚类结果,表明 EST-SSR 的有效扩增率高于 SSR,EST-SSR 的整体遗传多样性大于 SSR,但单个位点相比 SSR 比 EST-SSR 优秀,聚类结果差异不大,两标记均可用于遗传多样性分析。

本试验利用高通量、高效率、低成本 TP-M13 (Tailed primer-M13)分型技术,将从表型上难以区分的 10 个白杨无性系有效鉴别开来,具有 100% 的引物多态率,Shannon 指数 1.433 4 和基因多样性指数 0.694 3,遗传变异性与生物多样性丰富。由聚类结果可知,本试验中无性系秦白杨 1 号、秦白杨 3 号、秦白杨 5 号聚为一类,07-17-18、07-23-23、07-30-11 聚为一类,秦白杨系列与 84K 亲缘关系较近,07 系列与 I-101 遗传相似系数为 0.683~0.780,同样具有亲缘关系,新疆杨与无性系毛白杨 30 号单独与两大分支聚合在一起,试验结果符合传统植物学分类。试验所知秦白杨系列与 84K 汇聚较母本 I-101 优先,这与张海燕等<sup>[17]</sup>研究存在矛盾,因此,父母本基因影响子代导致遗传相关性方面还有待进一步研究。

指纹图谱多位点性、高特异性、简单而稳定的遗传性的优点使其在鉴定种质资源中应用广泛。杨树雌雄异株且可以无性繁殖,种间极易杂交形成新品种或新的无性系,这推动了杨树育种研究发展,但在选育和生产良种方面,杂交新无性系形态特征相似,难从表型上加以区分,造成了良种生产推广缓慢。

运用分子标记构建指纹图谱极大地加快了良种的生产推广流程,有利于形成稳定的杨树育种-生产-推广体系,为后续其他研究打好了基奠。本试验采用荧光 SSR 分子标记,对 10 个白杨派无性系进行遗传分析并构建指纹图谱,从试验方面为杨树杂交育种与新品种选育等育种工作提供支持。

## 参考文献:

- [1] 张勇,张守攻,齐力旺,等.杨树——林木基因组学研究的模式物种[J].植物学通报,2006,23(3):286-293.  
ZHANG Y,ZHANG S G,QI L W,*et al.* Poplar as a model for forest tree in genome research[J]. Chinese Bulletin of Botany, 2006,23(3):286-293. (in Chinese)
- [2] 苏晓华,丁昌俊,马常耕.我国杨树育种的研究进展及对策[J].林业科学,2010,23(1):31-37.  
SU X H,DING C J,MA C G. Research progress and strategies of poplar breeding in China[J]. Forest Research,2010,23(1): 31-37. (in Chinese)
- [3] 黄秦军,苏晓华,张香华. SSR 分子标记与林木遗传育种[J].世界林业研究,2002,15(3):14-21.
- [4] 王斯琪,唐诗哲,孔德仓,等.利用 SSR 标记进行枣树子代苗父本鉴定[J].园艺学报,2012,39(11):2133-2141.  
WANG S Q,TANG S Z,KONG D C,*et al.* Application of SSR markers for the identification of paternal parent for the seedlings of Chinese *Jujube*[J]. Acta Horticulturae Sinica,2012,39 (11):2133-2141. (in Chinese)
- [5] 范英明,张登荣,于大德,等.河北省华北落叶松天然群体遗传多样性分析[J].植物遗传资源学报,2014,15(3):465-471.  
FAN Y M,ZHANG D R,YU D D,*et al.* Genetic diversity and population structure of *Larix principis rupprechtii* mayr in Hebei Province[J]. Journal of Plant Genetic Resources,2014, 15(3):465-471. (in Chinese)
- [6] 王瑞,张福耀,程庆军,等.利用 SSR 荧光标记构建 20 个高粱品种指纹图谱[J].作物学报,2015,41(4):658-665.  
WANG R,ZHANG F Y,CHENG Q J,*et al.* Establishment of 20 sorghum hybrids fingerprints using SSR fluorescent marker [J]. Acta Agronomica Sinica,2015,41 (4): 658-665. (in Chinese)

- [7] 尹跃,安巍,赵建华,等.枸杞品种SSR荧光指纹图谱构建及遗传关系分析[J].西北林学院学报,2017,32(1):137-141.  
YI Y,AN W,ZHAO J H,*et al.* Fingerprinting and genetic diversity analysis of wolfberry cultivars using fluorescence-labeled SSR markers[J]. Journal of Northwest Forestry University,2017,32(1):137-141. (in Chinese)
- [8] MARKUS SCHUELKE. An economic method for the fluorescent labeling of PCR fragments[J]. Nature Biotechnology,2000,18(2):233-234.
- [9] CASTIGLIONE S,WANG G,DAMIANI G,*et al.* RAPD fingerprints for identification and for taxonomic studies of elite poplar (*Populus* spp.) clones[J]. Theoretical & Applied Genetics,1993,87(1/2):54-59.
- [10] 蒋丹,樊军锋,高建社,等.SSR和SCoT标记在美洲黑杨×青杨派杂种无性系遗传差异性分析上的比较[J].西北农林科技大学学报:自然科学版,2017,45(4):79-85,93.  
OU D,FAN J F,GAO J S,*et al.* Comparison of genetic diversity of *Populus deltoides* × Section tacamahaca hybrids based on SSR and SCoT markers[J]. Journal of Northwest A&F University:Natural Science Edition,2017,45(4):79-85,93. (in Chinese)
- [11] 樊蓉,樊军锋,李周岐.9个白杨品种SSR指纹图谱构建及遗传关系的研究[J].西北林学院学报,2015,30(3):76-80.  
FAN R,FAN J F,LI Z Q. Fingerprinting and genetic relatedness of 9 varieties in *Populus* L. Sect. *Populus* using SSR markers[J]. Journal of Northwest Forestry University,2015,30(3):76-80. (in Chinese)
- [12] HUANG J,GE X,SUN M. Modified CTAB protocol using a silica matrix for isolation of plant genomic DNA[J]. Biotechniques,2000,28(3):432,434.
- [13] NEI M,LI W H. Mathematical model for studying genetic variation in terms of restriction endonucleases[J]. Proceedings of the National Academy of Sciences,1979,76(10):5269-5273.
- [14] 姚俊修,毛秀红,李善文,等.基于荧光SSR标记的白杨派种质资源遗传多样性研究[J].北京林业大学学报,2018,40(6):92-100.  
YAO J X,MAO X H,LI X W,*et al.* Genetic diversity of germplasm resources of Leuce based on SSR fluorescent marker[J]. Journal of Beijing Forestry University,2018,40(6):92-100. (in Chinese)
- [15] 冯锦霞,张川红,郑勇奇,等.利用荧光SSR标记鉴别杨树品种[J].林业科学,2011,47(6):167-174.  
FENG J X,ZHANG C H,ZHENG Y Q,*et al.* Identification of poplar varieties by SSR markers using capillary electrophoresis with fluorescence detection[J]. Scientia Silvae Sinicae,2011,47(6):167-174. (in Chinese)
- [16] 张亚东,彭婵,李振芳,等.基因组SSR与EST-SSR标记在杨树不同种间的遗传差异[J].东北林业大学学报,2011,39(12):8-11,117.  
ZHANG Y D,PENG C,LI Z F,*et al.* Genetic diversity of genomic-SSR and EST-SSR markers in interspecies of poplar [J]. Journal of Northeast Forestry University,2011,39(12):8-11,117. (in Chinese)
- [17] 张海燕,樊军锋,郑涛.18份杨树资源的遗传多样性分析[J/OL].西北农林科技大学学报:自然科学版,2020,48(12):1-9.  
ZHANG H Y,FAN J F,ZHENG T. Genetic diversity analysis of 18 poplar resources[J/OL]. Journal of Northwest A&F University:Natural Science Edition,2020,48(12):1-9. (in Chinese)

(上接第79页)

- [26] CIHACEK L J,SWAN J B. Effects of erosion on soil chemical properties in the north central region of the United States[J]. Journal of Soil and Water Conservation,1994,49(3):259-265.
- [27] 陈刚才,甘露,王仕禄,等.土壤氮素及其环境效应[J].地质地球化学,2001,29(1):63-67.
- [28] 潘鹏,甘文峰,欧阳励志,等.马尾松天然林土壤碳氮磷含量与碳密度的关系[J].西北林学院学报,2014,29(6):1-5,19.  
PAN P,GAN W F,OUYANG C Z,*et al.* Relationship between the contents of soil organic Carbon, total nitrogen, total phosphorus and soil organic carbon density of *Pinus massoniana* nature forest[J]. Journal of Northwest Forestry University,2014,29(6):1-5,19. (in Chinese)
- [29] 康冰,刘世荣,蔡道雄,等.马尾松人工林林分密度对林下植被及土壤性质的影响[J].应用生态学报,2009,20(10):2323-2331.  
KANG B,LIU S R,CAI D X,*et al.* Effects of *Pinus massoniana* plantation stand density on understory vegetation and soil properties[J]. Chinese Journal of Applied Ecology,2009,20(10):2323-2331. (in Chinese)